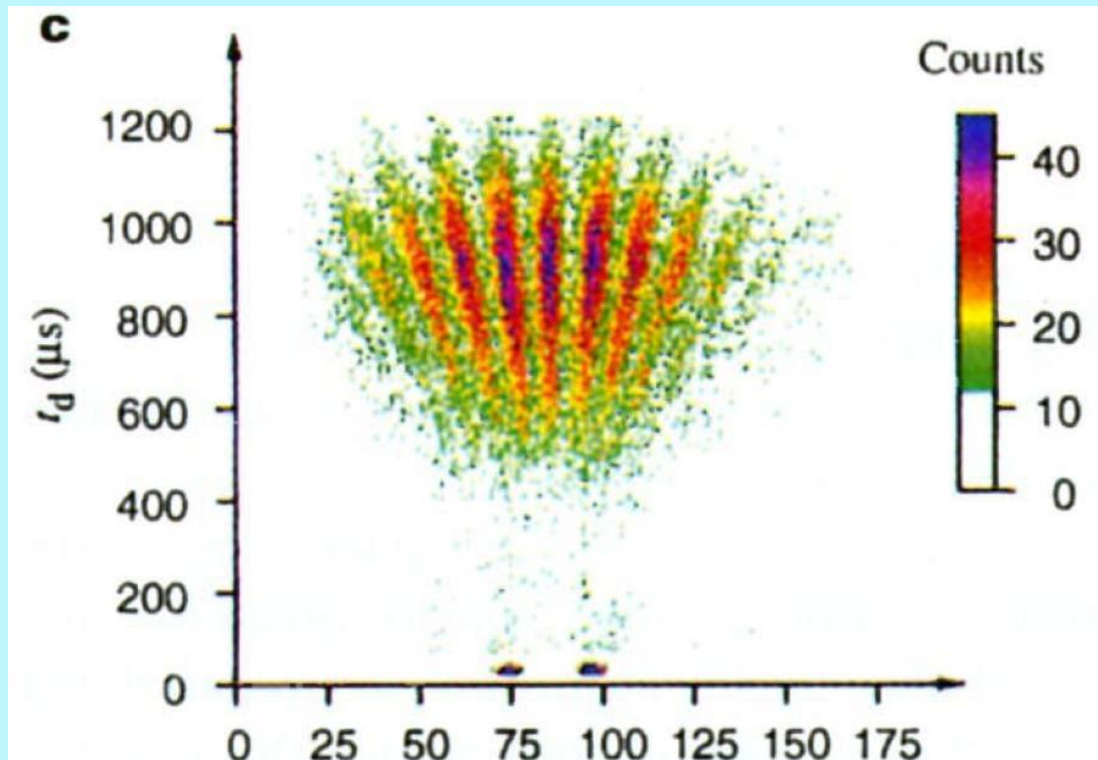


## Лекция № 3

# Принцип корпускулярно-волнового дуализма Л. де Бройля и его экспериментальное подтверждение



Интерференция атомов Не в двухщелевом эксперименте

Н.В. Никитин



П.Р. Шарапова

# Корпускулярно – волновой дуализм для излучения

В Лекции №1 было показано, что в одних экспериментах свет ведет себя как волна (интерференция, дифракция), а в других (спектр излучения абсолютно чёрного тела, фотоэффект, эффект Комptonа и др.) – как частица с энергией  $\varepsilon = \hbar\omega$  и импульсом  $\vec{p} = \hbar\vec{k}$ .

Частица света:

фотон – в области видимого света

(термин Гильберта Льюиса, 1926 г !!!)

гамма-квант – в области жёсткого (высокоэнергичного) рентгеновского диапазона.



**Вопрос:  $e^-$  и  $p$  – частицы. Могут ли они в определённых условиях обладать волновыми свойствами?** <sup>2</sup>

# Фазовая и групповая скорости волн

Волна:

$$u = \frac{\omega}{k}$$

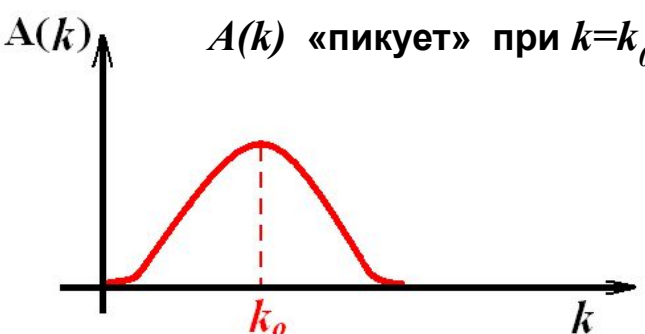
$$A(x, t) = e^{-i(\omega t - kx)} = e^{-i\omega(t - \frac{x}{u})}$$

$u = \frac{\omega}{k}$  – фазовая скорость.  $[\omega] = \frac{1}{t}$ ,  $[k] = \frac{1}{l}$ ,  $[u] = \frac{l}{t}$ , – размерность скорости

$$u = \frac{\omega}{k} = \frac{\lambda\omega}{2\pi} = \frac{\lambda}{T},$$

где  $\lambda$  – длина волны,  $T$  – период волны. Фазовая скорость  $u < c$ , так как  $u$  – это не скорость передачи сигнала. Сигнал передаётся с квадратом амплитуды волнового пакета.

Пусть:



$$A(x, t) = \int_{-\infty}^{+\infty} dk A(k) e^{-i(\omega t - kx)}$$

Покажем, что пакет движется с групповой скоростью волны:

$$\omega \cong \omega_0 + \frac{d\omega}{dk} \cdot (k - k_0) + \dots = \omega_0 + v_a \cdot (k - k_0) \rightarrow \omega t - kx = \omega_0 t - k_0 x + (k - k_0)(v_g t - x)$$

Тогда:  $A(x, t) = e^{-i(\omega_0 t - k_0 x)} \int_{-\infty}^{+\infty} dk A(k) e^{-i(k-k_0)(x-v_g t)} = \{x - vt = y\} =$

$$= e^{-it(\omega_0 - k_0 v_g)} e^{-ik_0 y} \int_{-\infty}^{+\infty} dk A(k) e^{-i(k-k_0)y} = e^{-it(\omega_0 - k_0 v_g)} A(x - v_g t, 0)$$

$$|A(x, t)|^2 = |A(x - v_g t, 0)|^2$$

То есть сигнал действительно передаётся с групповой скоростью  $v_g$ .

## Принцип корпускулярно – волнового дуализма Луи де Бройля



AIP

**Louis-Victor-Pierre-Raymond,  
de Broglie  
(1892 — 1987)**

Луи де Бройль распространил принцип корпускулярно – волнового дуализма на вещество (частицы, имеющие ненулевую массу покоя).

**Гипотеза де Бройля:** «... быть может, каждое движущееся тело сопровождается волной, и что не возможно разделить движение тела и распространение волны»

*L. de Broglie. Ondes et quanta // Comptes rendus de l'Académie des sciences. — 1923. — Vol. 177. — P. 507—510.*

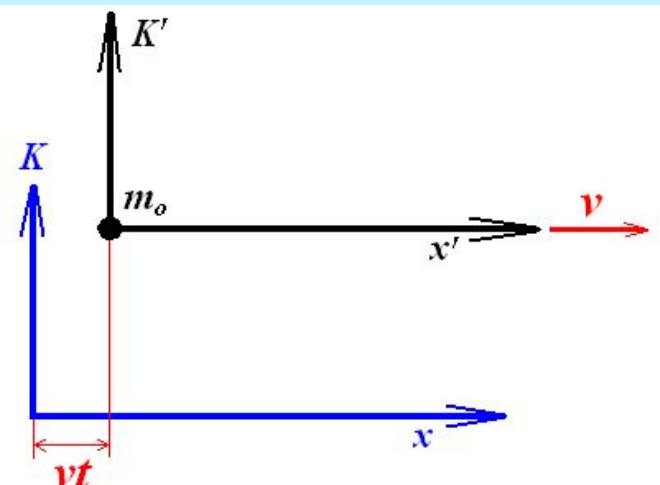
**Русский перевод:** Л. де Бройль. Волны и кванты // УФН. — 1967. — Т. 93. — С. 178–180.

**Или**

Л. де Бройль, «Избранные научные труды», т.1, стр. 193-196, М. «Логос», 2010

**Нобелевская премия по физике (1929) за открытие волновой природы материи**

# Математическая реализация гипотезы де Бройля



1. Необходимо непротиворечивым образом каждой частице сопоставить колебательный процесс.
2. Природа этого колебательного процесса остается без ответа.
3. Используется релятивистский подход.

Колебательный процесс в  $K'$ :  $\Psi_{k'}(t') \sim e^{-i\omega_0 t'}$

Колебательный процесс в  $K$  («корпускулярная» точка зрения):

$$\hbar\omega_0 = m_0 c^2 \Rightarrow \hbar\omega^{(c)} = \frac{m_0 c^2}{\sqrt{1 - \left(\frac{v}{c}\right)^2}} = \frac{\hbar\omega_0}{\sqrt{1 - \left(\frac{v}{c}\right)^2}} \Rightarrow \Psi_k^{(c)}(t) \sim e^{-i\omega^{(c)}(t - \frac{x}{u})}$$

серии.

Колебательный процесс в  $K$  («волновая» точка зрения):

$$\omega \sim 1/t, t = \frac{t'}{\sqrt{1 - \left(\frac{v}{c}\right)^2}} \Rightarrow \frac{\omega^{(w)}}{\omega_0} = \frac{t'}{t} = \sqrt{1 - \left(\frac{v}{c}\right)^2} \Rightarrow \Psi_k^{(w)}(t) \sim e^{-i\omega^{(w)}t}$$

Но  $\Psi_k^{(w)}(t)$  и  $\Psi_k^{(c)}(t)$  - отвечают одному и тому же колебательному процессу:

$$\Psi_k^{(c)}(t) \equiv \Psi_k^{(w)}(t)$$

# Математическая реализация гипотезы де Бройля: фазовая и групповая скорости.

Эквивалентность колебательных процессов означает, что:

$$\omega^{(c)} \left( t - \frac{x}{u} \right) = \omega^{(w)} t + 2\pi n$$

Положим  $n=0$ . Кроме того,  $x=vt$ . Тогда  
фазовая скорость волн де Бройля есть:  $u = \frac{c^2}{v} > c$

Групповая скорость:  $v_g = \frac{d\omega^{(c)}}{dk^{(c)}} = \frac{d\omega^{(c)}}{dv} \cdot \frac{dv}{dk^{(c)}}$

$$\frac{d\omega^{(c)}}{dv} = \omega_0 \frac{d \left( \frac{1}{\sqrt{1 - v^2/c^2}} \right)}{dv} = \frac{\omega_0}{c^2} v \left( 1 - v^2/c^2 \right)^{-3/2}; \quad \frac{dk^{(c)}}{dv} = \omega_0 \frac{d \left( \omega^{(c)}/u \right)}{dv} = \frac{\omega_0}{c^2} \left( 1 - v^2/c^2 \right)^{-3/2};$$

Таким образом:  $v_g = v$ ,

то есть групповая скорость волн де Бройля в точности равна скорости частицы, с которой эта волна ассоциирована!

Триумф теории!!!

# Длина волны де Бройля

## Импульс релятивистской частицы

$$p = \frac{m_0 v}{\sqrt{1 - v^2/c^2}}.$$

$$p = \hbar k^{(c)}.$$

Покажем, что с точки зрения волн де Бройля, его можно записать как

Действительно:  $p = \frac{m_0 v}{\sqrt{1 - v^2/c^2}} = \frac{\hbar \omega_0}{c^2} \frac{v}{\sqrt{1 - v^2/c^2}} = \hbar \frac{v}{c^2} \frac{\omega_0}{\sqrt{1 - v^2/c^2}} = \hbar \frac{\omega^{(c)}}{u} = \hbar k^{(c)},$

Это ещё одна математическая формулировка проявления дуализма волна - частица

Длина волны де Бройля:

$$\lambda = \frac{2\pi}{k^{(c)}} = \frac{2\pi\hbar}{p}$$

Численные оценки:

а) длина волны де Бройля теннисного мячика с  $m = 50 \text{ г}$  и  $v = 10 \text{ м/с}$

$$\lambda_{\text{тм}} = \frac{2\pi\hbar}{mv} = \frac{2\pi \cdot 1,05 \cdot 10^{-34} \text{ (эрг} \cdot \text{с)}}{50 \text{ (гр)} \cdot 1000 \text{ (см/с)}} \approx 1,3 \cdot 10^{-31} \text{ см} \ll$$

размеров мячика  $\Rightarrow$  для макроскопических предметов волновые свойства не проявляются.

б) электрон, ускоренный до энергии  $E_e = 100 \text{ эВ}.$

Т.к.  $m_e c^2 \approx 0,51 \text{ МэВ}$ , то можно пользоваться нерелятивистскими формулами:

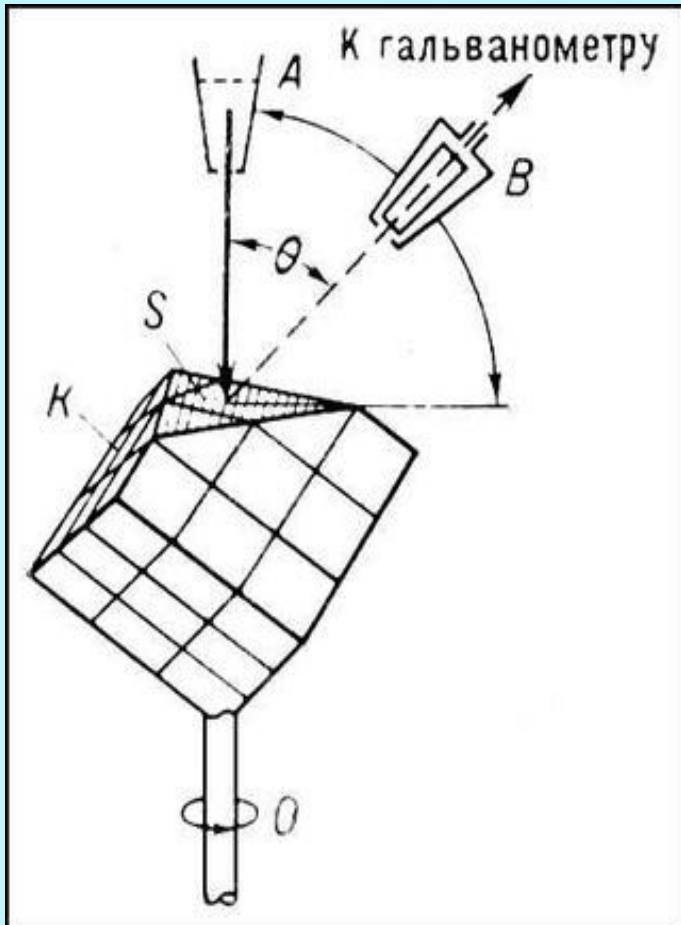
$$\lambda_e = \frac{2\pi\hbar c}{\sqrt{2m_e c^2 E_e}} = \frac{2\pi \cdot 6,28 \cdot 10^{-34} \text{ (эВ} \cdot \text{с)}}{\sqrt{2 \cdot 0,51 \cdot 10^{-30} \text{ (эВ)} \cdot 100 \text{ (эВ)}}} \cdot 3 \cdot 10^10 \left( \frac{\text{см}}{\text{с}} \right) \approx 1,2 \cdot 10^{-8} \text{ см}$$

— сравнима с длиной волны рентгеновского излучения.

# Дифракция электронов

В 1927 г. Дэвиссон и Джеммер обнаружили дифракцию пучков электронов при отражении от кристалла никеля.

Как было показано на предыдущем слайде, дебройлевская длина волны электронов с энергией  $\sim 100$  эВ по порядку величины равна **длине волны рентгеновского излучения**. Поэтому дифракцию электронов можно наблюдать при рассеянии на кристаллах.



*K* — монокристалл никеля;

*A* — источник электронов;

*B* — приёмник электронов;

$\theta$  — угол отклонения электронных пучков.

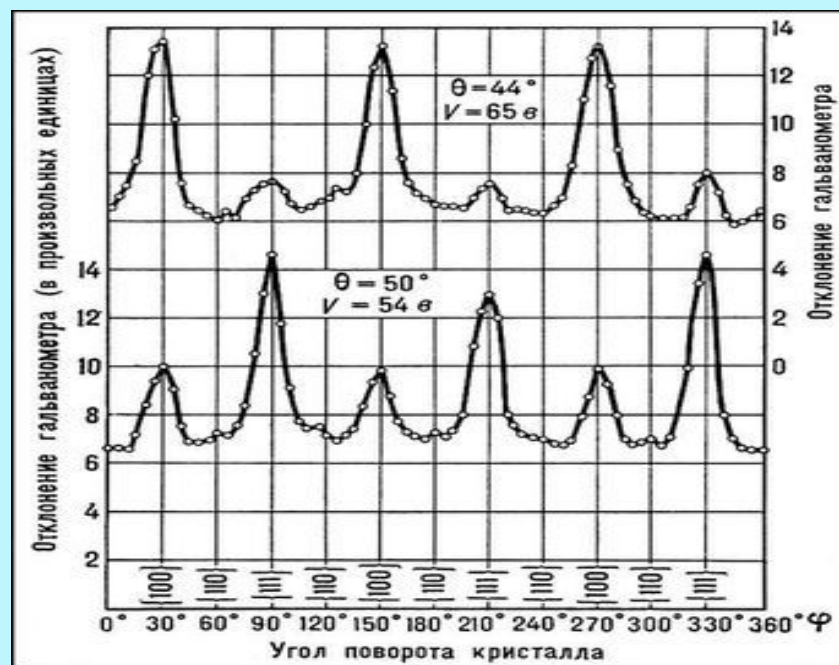
Пучок электронов падает перпендикулярно отшлифованной плоскости кристалла *S*.

При поворотах кристалла вокруг оси *O* гальванометр, присоединённый к приёмнику *B*, даёт периодически возникающие максимумы

Если ускорять электроны электрическим полем с напряжением  $V$ , то они приобретут кинетическую энергию  $E_e = |e|V$ , ( $e$  — заряд электрона), что после подстановки в формулу де Броиля даёт численное значение длины волны электрона:

$$\lambda_e = \sqrt{\frac{150,42}{V_e}} \cdot 10^{-8} [\text{см}] = \frac{1,2264}{\sqrt{V_e}} [\text{нм}]$$

Здесь  $V$  выражено в  $B$ , а  $\lambda$  — в  $\text{нм}$  ( $1 \text{нанометр} = 10^{-7} \text{ см}$ ). При напряжениях  $V$  порядка  $100B$ , которые использовались в этих опытах, получаются так называемые «медленные» электроны с  $\lambda$  порядка  $0,1 \text{ нм}$ . Эта величина близка к межатомным расстояниям  $d$  в кристаллах, которые составляют десятые доли нм и менее. Поэтому получаем  $\lambda \sim d$ , что дает условие, необходимое для возникновения дифракции.



# Эксперимент Бибермана – Сушкина – Фабриканта по дифракции одиночных электронов {ДАН СССР т.66, №2, с.185 (1949г.)}

**Вопрос:** быть может волновые свойства микрочастиц связаны с тем, что в опытах участвуют пучки частиц ( $e^-$ ,  $p$ ,  $\gamma$  и т.д.), а один  $e^-$  или  $\gamma$  будут вести себя как “классический шарик”?

**Ответ:** нет, это не так!

**Скорость  $e^-$ :**

$$v_e = c \sqrt{1 - \left(\frac{m}{m + E_e}\right)^2} \approx 0,48c \approx 1,44 \cdot 10^5 \text{ км/сек}$$

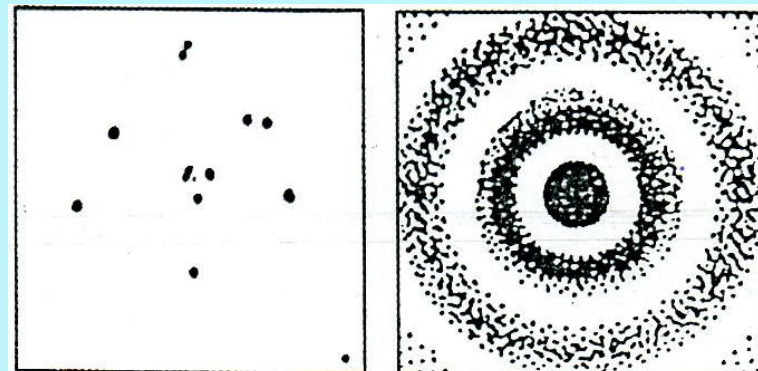
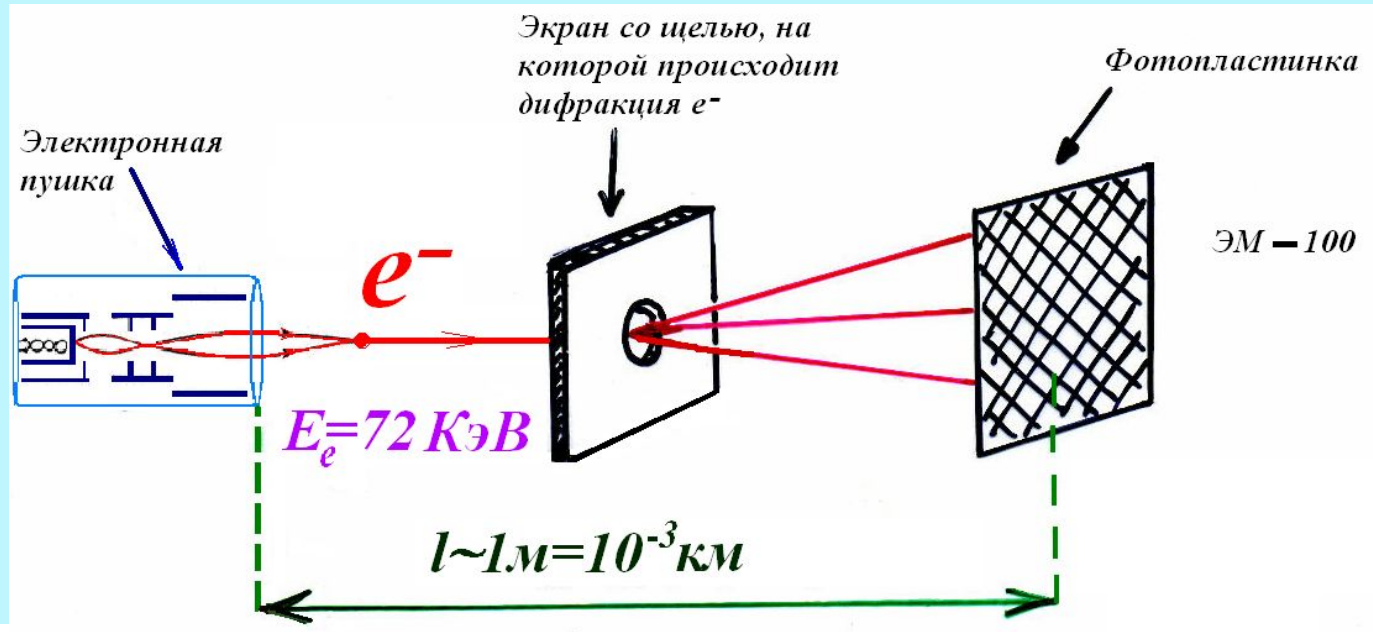
$$t_e = \frac{l}{v_e} \approx 7 \cdot 10^{-9} \text{ сек} \quad \text{Время пролета}$$

$$L = 4,2 \cdot 10^3 \frac{n_{e^-}}{\text{сек}} \Rightarrow \Delta t = \frac{1}{L} \approx 2,4 \cdot 10^{-4} \text{ сек}$$

**Интенсивность пучка**  $\Rightarrow$  Время между пролетом двух  $e^-$

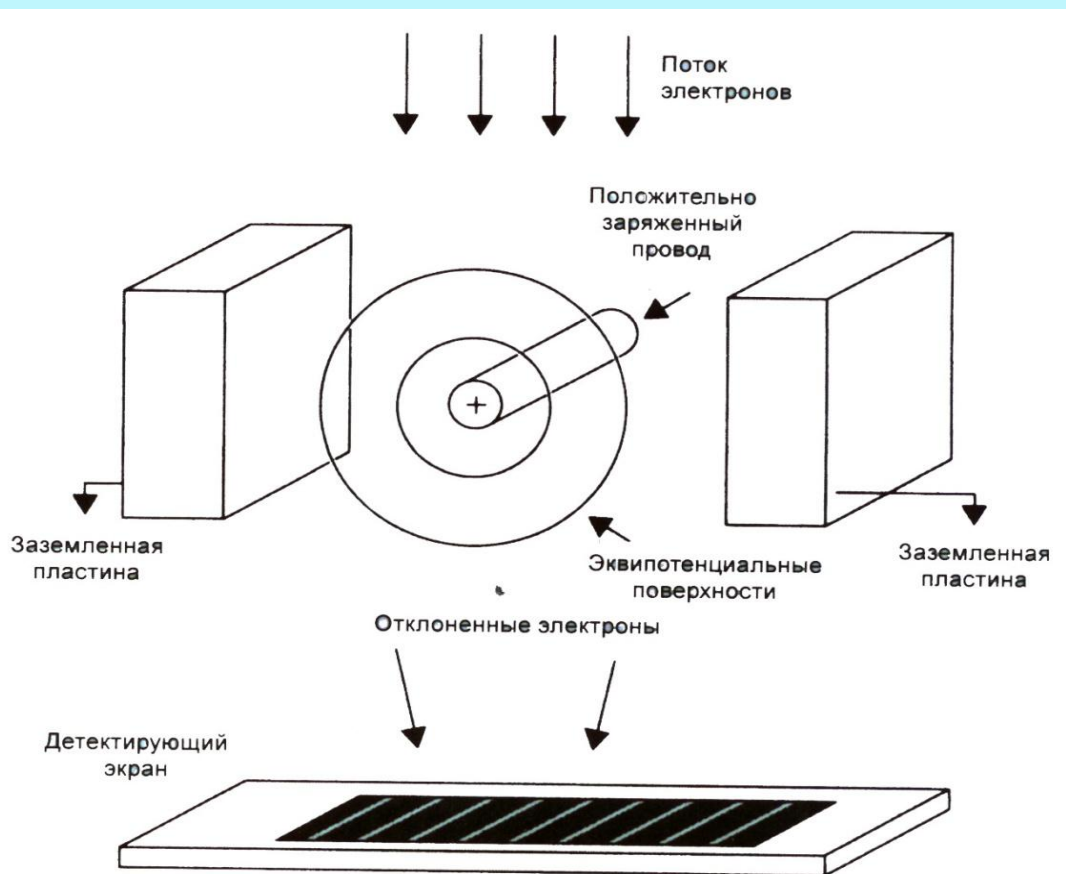
$$\therefore \Delta t \gg t_e \cdot w_{2e^-} \approx \frac{t_e}{\Delta t} \approx 3 \cdot 10^{-5}$$

Вероятность, что в приборе одновременно два  $e^-$



На фотопластинке наблюдалась дифракционная картина от ансамбля одиночных электронов

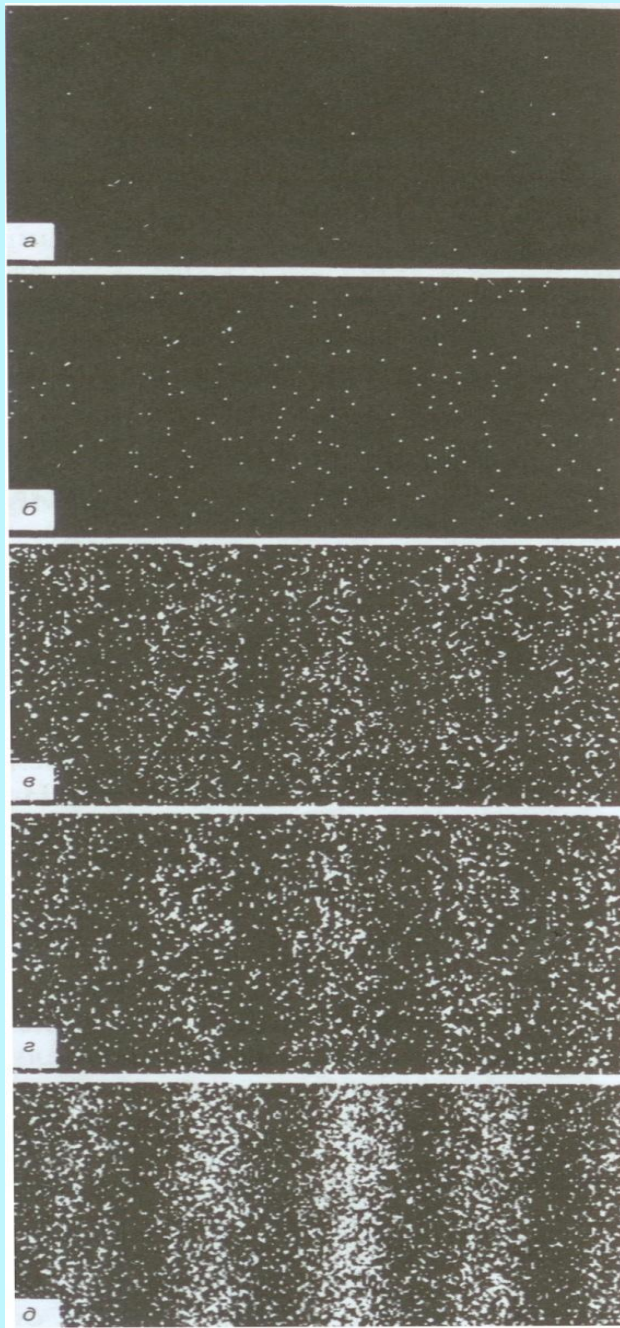
# Эксперимент А.Тономуры по интерференции одиночных электронов (1989 г.)



Для создания аналога двух щелей использовалась двойная электронная призма: электроны, ускоренные до 50 КэВ, проходили между двумя заземленными пластинами и отклонялись тонким проводом с положительным потенциалом, расположенным между ними.

Детали эксперимента в работе: A.Tonomura et al., Am. J. Phys., Vol. 57, pp. 117-120 (1989).

# Результат эксперимента А. Тономуры

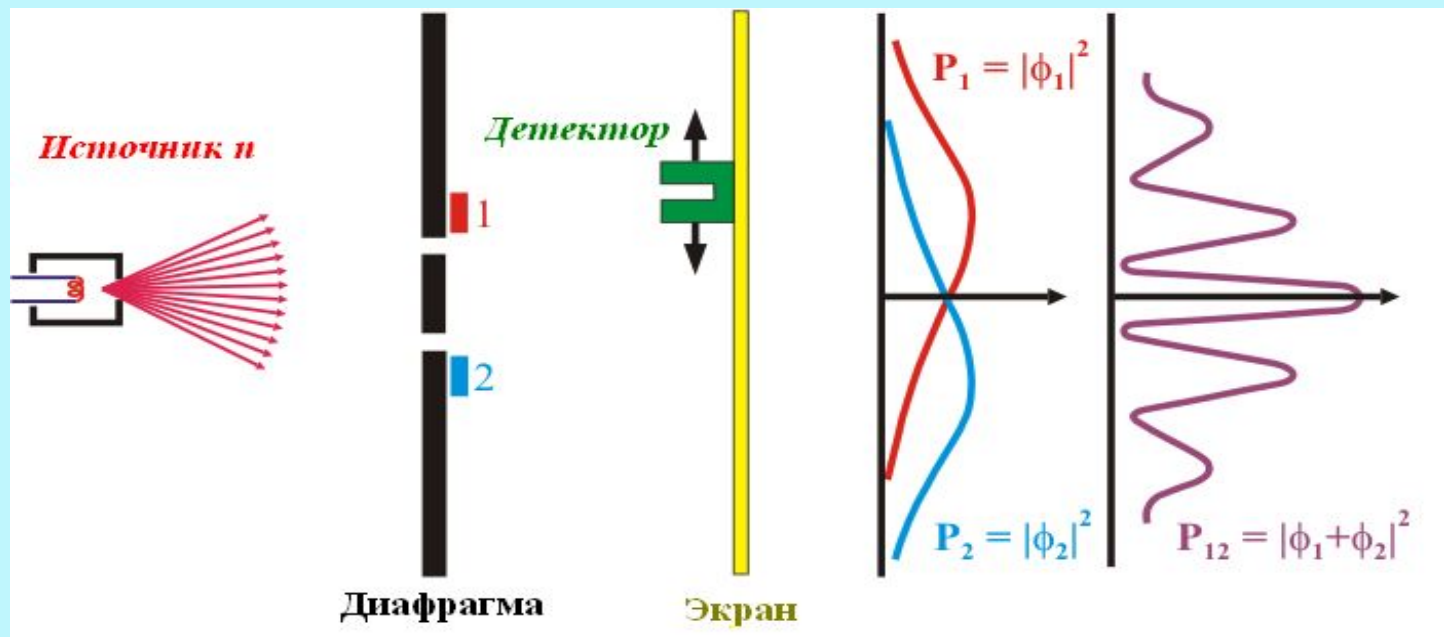


Каждая точка обозначает попадание электрона в детектирующий экран.

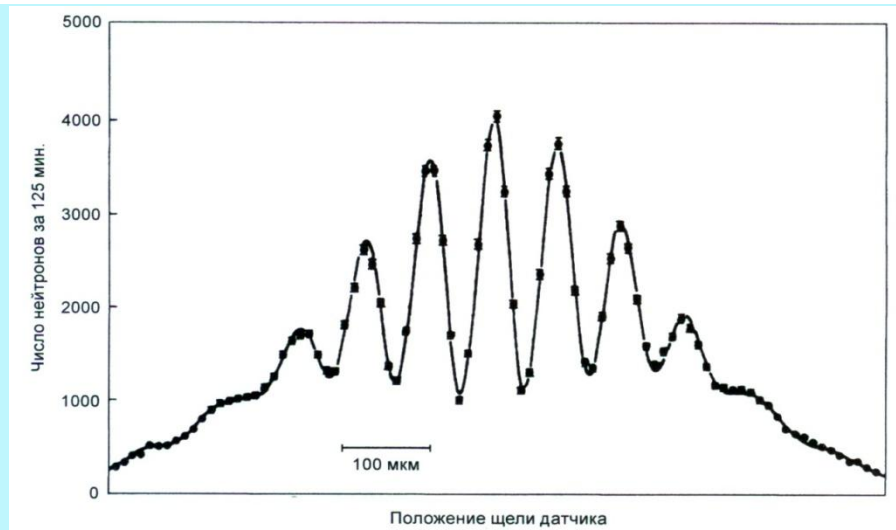
- а) **10** электронов;
- б) **100** электронов;
- в) **3000** электронов;
- г) **20 000** электронов;
- д) **70 000** электронов.

# Интерференция нейтронов, прошедших через две щели (1991 г.)

А.Цайлингер с сотрудниками наблюдали **интерференцию медленных нейтронов** ( $v = 2 \text{ км/с}$ ) **на двух щелях**, сделанных в нейтронопоглощающем материале. Ширина каждой из щелей – 20 мкм, расстояние между щелями – 126 мкм.



Детали эксперимента  
см. в Amer. J. Phys.  
59, p.316 (1991)



# Эксперимент по интерференции атомов Не (1991, 1997 гг.)

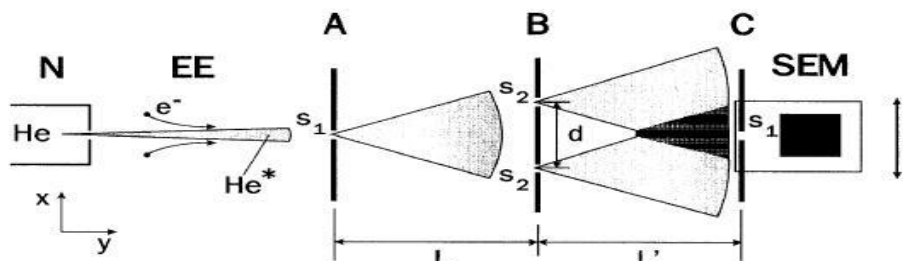


FIG. 2. Schematic representation of the experimental setup: nozzle system and gas reservoir N; electron impact excitation EE; entrance slit A, double slit B, and detector screen C; secondary electron multiplier SEM (mounted together with C on a translation stage). Dimensions:  $d = 8 \mu\text{m}$ ,  $L = L' = 64 \text{ cm}$ ; slit widths:  $s_1 = 2 \mu\text{m}$ ,  $s_2 = 1 \mu\text{m}$ .

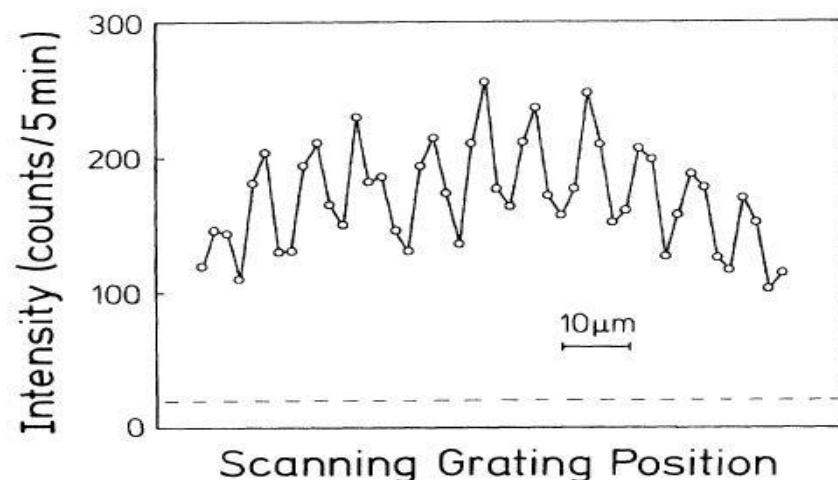
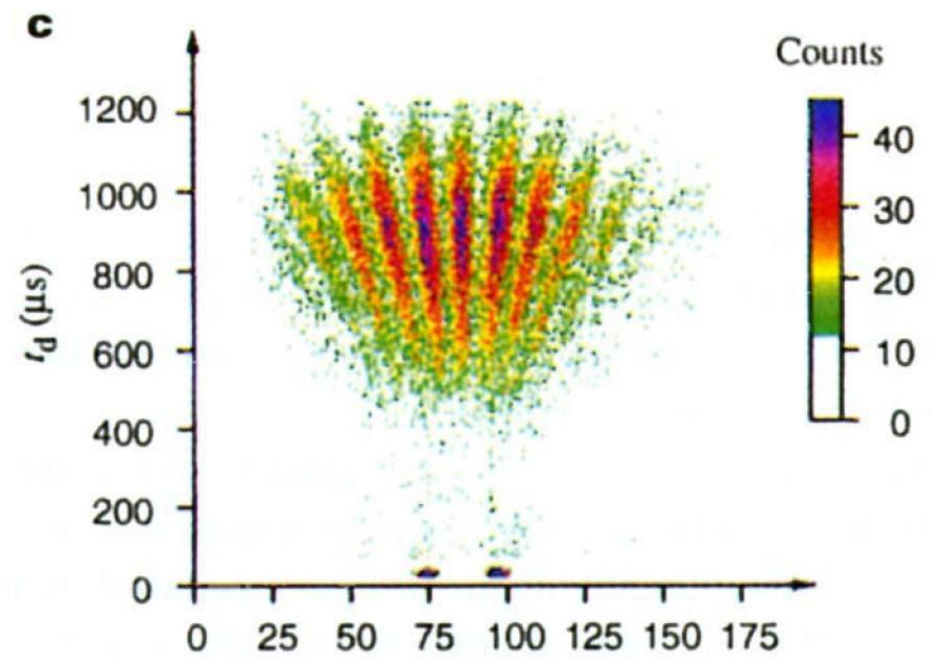


FIG. 5. Atomic density profile, monitored with the  $8-\mu\text{m}$  grating in the detector plane, as a function of the lateral grating displacement. The dashed line is the detector background. The line connecting the experimental points is a guide to the eye.

Детали эксперимента см. в работах:

O.Carnal, J.Mlynek, Physical Review Letters, 66, p.2689 (1991) и

Ch.Kurtsiefer, T.Pfau, J.Mlynek, Nature, 386, p.150 (1997).

# Эксперимент по интерференции атомов Na (1991)

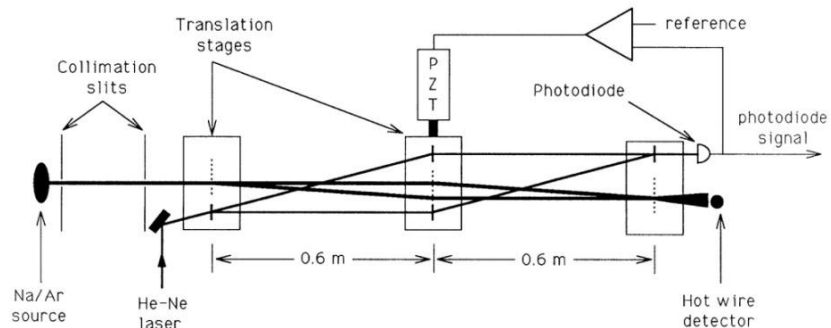


FIG. 1. A schematic of our interferometer showing the active vibration isolation system. Not to scale. The 0.4- $\mu\text{m}$ -period atom gratings are indicated by a vertical dashed line, and the 3.3- $\mu\text{m}$ -period optical gratings by a vertical solid line.

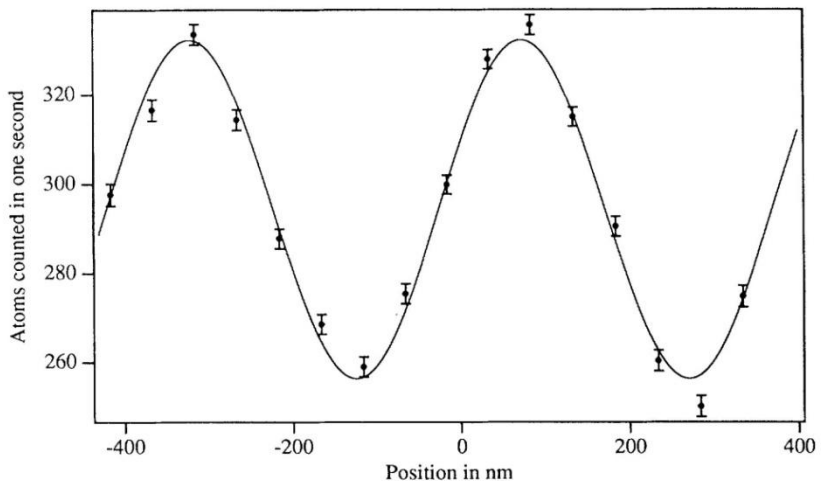


FIG. 4. Interference signal from 400 s of data ( $\sim 23$  s per point). Background hot-wire noise of 40 counts/s subtracted. The solid line is a least-squares fit by a sine function with 400-nm period. Error bars are 1 standard deviation assuming Poissonian noise, and slightly underestimate the noise because of the super-Poissonian character of the hot-wire background.

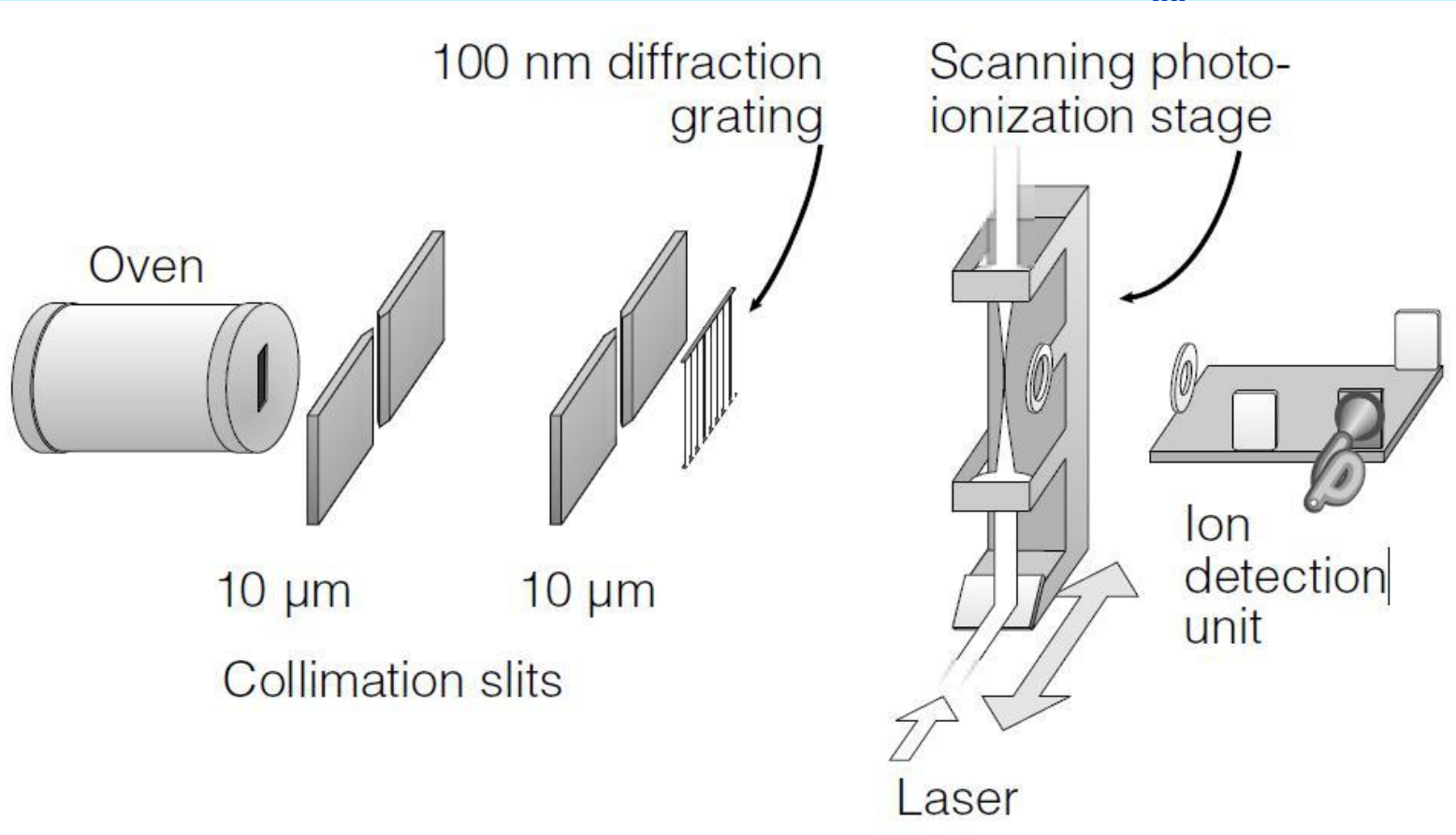
См. детали эксперимента в работе: D.W.Keith et al., Physical Review Letters, 66, p.2693 (1991).

**Сравните со ссылкой на предыдущем слайде!!!**

Интерферометр состоит из трех дифракционных решеток с периодом 400 нм каждая, расположенных на расстоянии 0.6 м друг от друга. Атомы Na имеют  $v=1\text{ км/с}$ , что соответствует  $\lambda=1,6 \cdot 10^{-2}$  нм. Атомы дифрагируют на 1-ой решетке. Пучки нулевого и первого порядков падают на вторую решетку, на которой они претерпевают дифракцию первого и минус-первого порядков, так, что сходятся на третьей решетке.

Первые две решетки образуют интерференционную картину в плоскости третьей решетки, которая используется в качестве экрана.

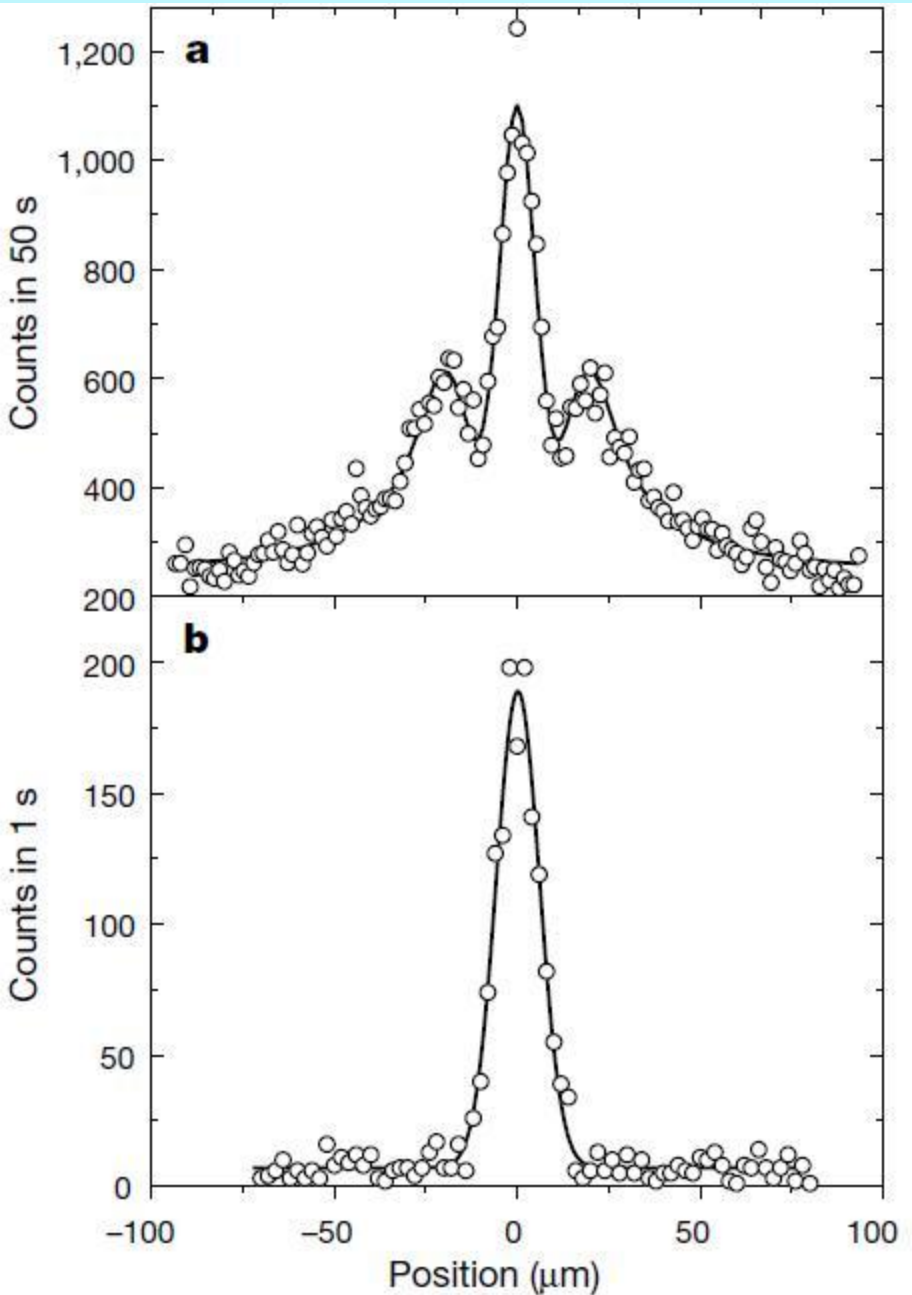
## Эксперимент по интерференции молекул C<sub>60</sub> (1999 г.)



Чтобы сформировать пучок, молекулы C<sub>60</sub> (**фуллерена!!!!**) проходят через два коллиматора шириной 10μм каждый и расстояние между которыми составляет 1,04 м. За вторым коллиматором находится дифракционная решетка с периодом d=100нм. На расстоянии L=1,25 м от нее находится детектор атомов C<sub>60</sub>.

В эксперименте молекулы C<sub>60</sub> имели наиболее вероятную скорость v=22000 см/с. При массе молекулы M=1.2\*10<sup>-21</sup> гр. легко оценить, что ее дебройлевская длина волны составляет λ=2.5\*10<sup>-10</sup> см.

# Эксперимент по интерференции молекул C<sub>60</sub> (1999 г.)



Расстояние между нулевым и первым максимумами есть:

$$x = L \lambda / d = 31 \mu\text{m}$$

На рисунке **a)** показано распределение молекул C<sub>60</sub> при наличии дифракционной решетки. Видна дифракция молекул фуллерена на решетке.

Рисунок **b)** соответствует ситуации, когда решетка убрана. Дифракция отсутствует.

Детали эксперимента можно найти в работе: M.Arndt et al., Nature 401, p.680 (1999).